

## التوصية S.1779 ITU-R

## خصائص أنظمة الخدمة الثابتة الساتلية التي تستعمل إشارات تمديد للنطاق العريض

(المسألة 270/4)

(2007)

### مجال التطبيق

تقدم هذه التوصية أمثلة لطائق استعمال إشارات تمديد للنطاق العريض في أنظمة الخدمة الثابتة الساتلية (FSS). وتعرض الملاحقات الثلاثة بهذه التوصية لحة عامة عن التقنيات وأساليب التنفيذ في أنظمة الإرسال والتي من شأنها أن تساعد مشغلي الشبكات ومستعمليها.

إن جمعية الاتصالات الراديوية للاتحاد الدولي للاتصالات،

إذ تضع في اعتبارها

- أ) إمكانية استعمال تقنيات جديدة للإرسال مع إشارات تمديد للنطاق العريض في الوصلات الصاعدة و/أو الوصلات المابطة للخدمة الثابتة الساتلية؛
- ب) أن أنظمة الخدمة الثابتة الساتلية التي تستعمل هذه التقنيات قد تستخدم في تطبيقات وخدمات جديدة؛
- ج) أن خصائص تطبيقات أنظمة الخدمة الثابتة الساتلية التي تستخدم إشارات التمديد للنطاق العريض تختلف عن خصائص الأنظمة الأخرى في هذه الخدمة؛
- د) أن خصائص أنظمة الخدمة الثابتة الساتلية التي تستعمل إشارات التمديد للنطاق العريض مختلفة عن خصائص أنظمة الخدمة الثابتة الساتلية المستخدمة حالياً؛
- ه) أن من الضروري تحديد أثر التداخل الذي تسببه إرسالات نظام خدمة ثابتة ساتلية يستعمل إشارات تمديد للنطاق العريض؛
- و) أن من المفيد لمشغلي الشبكات والمستعملين الحصول على مصدر معلومات عن خصائص أنظمة الخدمة الثابتة الساتلية التي تستعمل إشارات تمديد للنطاق العريض،

### توصي

1 باستعمال نماذج النظام وخصائصه التقنية الواردة في الملاحقات من 1 إلى 3 كأمثلة لطائق تنفيذ أنظمة الإرسال التي تستعمل إشارات التمديد للنطاق العريض في أنظمة الخدمة الثابتة الساتلية.

الملاحظة 1 - تتناول الملاحقات من 1 إلى 3 المواقع التالية على التوالي:

الملحق 1 - إرسال معلومات إضافية تنقلها إشارات النفاذ المتعدد بتقسيم التردد (FDMA) لأنظمة التقليدية للخدمة الثابتة الساتلية.

الملحق 2 - تحسين القدرة الفعلية للقنوات في أنظمة الخدمة الثابتة الساتلية بإضافة عدد من الحزم النقطية الضيقية.

الملحق 3 - تنقيص مستوى كثافة القدرة e.i.r.p. خارج محور التسديد من أجل الوفاء بالقيم التي تنص عليها التوصيات ITU-R ذات الصلة.

## الملحق 1

### نظام ساتلي بإشارات تمديد للنطاق العريض (تقنية التتابع المباشر (DS))

#### مقدمة

1

يقدم هذا الملحق وصفاً لتقنيات الإرسال التي تستعمل إشارات التمديد للنطاق العريض والتي تسمى أنظمة ساتلية عريضة النطاق، ويمكن استعمالها لإرسال معلومات إضافية دون تغيير خطة التردد التشغيلية للنظام FSS القائم.

ويتعلق أحد تطبيقات النظام بإرسال اتصالات الطوارئ مثل المعلومات عن الزلازل وإنذارات بأمواج التسونامي وغيرها. ويوضح الشكل 1 هذا النوع من التطبيقات. ففي إرسال إشارات الطوارئ يتعين على مطاراتيف المستعملين أن تكون صغيرة الحجم ومعقولة الثمن بحيث يكون بمقدور معظم السكان تركيب هذه المستقبلات واستعمالها حينما يشاؤن. ولذلك، تعتبر المطاراتيف ذات الهوائيات القصيرة (منخفضة الكسب) مناسبة، مما يسهل عمليات التركيب والصيانة. ويكون كسب الهوائيات في الأنظمة التقليدية للخدمة FDMA FSS أعلى عادة، ويجب توجيهها باتجاه السائل وذلك بسبب اتجاهية الهوائي. كما أن توجه الهوائي يتغير بسهولة بالتغيرات الطارئة مثل الزلازل أو الأعاصير الاستوائية.

وخلالاً للمزايا المذكورة أعلاه، فإن مطاراتيف المستعملين ذات الهوائيات منخفضة الكسب تتأثر بالتدخل الناجم عن السوائل المجاورة. ويتوقع أن يُخفف استعمال إشارات التمديد من الانحطاط الناجم عن التداخل بين الأنظمة وذلك بفضل كسبها المددة. وهذا هو السبب الرئيسي لاستعمال إشارة التمديد في هذا النوع من التطبيقات.

ومن أجل استخدام هذه التقنية، جرى تقييم التطبيقيين التاليين:

- نظام ساتلي بإشارات تمديد للنطاق العريض مضافة إلى الإشارة العادية للخدمة FDMA FSS.

- نظام ساتلي بعرض نطاق مكرسة لإشارات الفاذ FDMA وإشارات التمديد للنطاق العريض على حد سواء.

وتعرض الفقرة التالية تحليلاً موازنة الوصلة في هذا التطبيق يستعمل معلمات مختلفة لأنظمة الخدمة الساتلية الراهنة ونتائج التقييم المتعلقة بمعدل المعطيات. ويلاحظ أن التقنية DS هي التقنية المستخدمة في هذا التحليل.

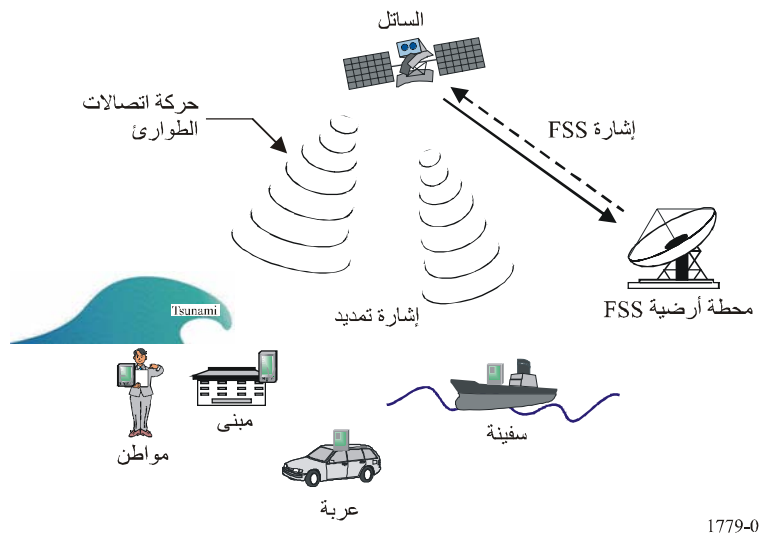
### 2 التطبيق 1 – نظام ساتلي بإشارات تمديد للنطاق العريض مضافة إلى إشارات FSS FDMA تقليدية

#### 1.2 خاتمة النظام

يبين الشكل 2 المخطط العام للنظام. وتستخدم الدراسة التمهيدية للنظام الساتلي عريض النطاق النموذجين 1 و 2، ويرد ملخص النتائج في الجدول 1. ويستخدم النموذج 1 في نظام ساتلي جديد يضم مرسلاً مستجيباً من النمط المحدد، ويستخدم النموذج 2 في النظام الساتلي الراهن الذي يضم مرسلاً مستجيباً من النوع غير المحدد. وتشتمل الدراسة على السيناريوهات التالية أيضاً.

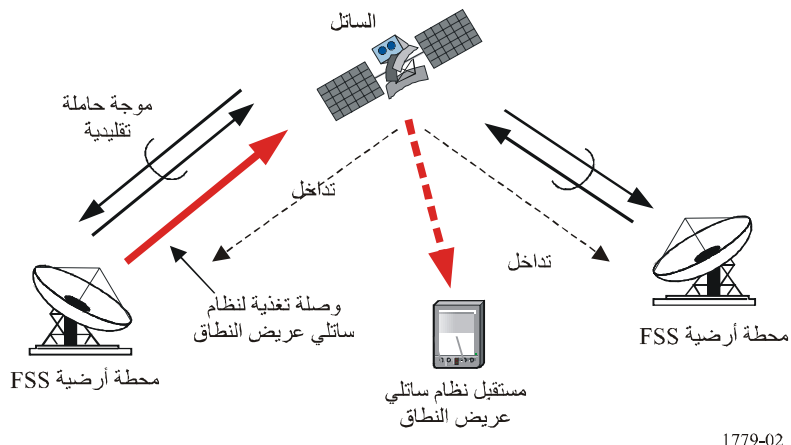
الشكل 1

استخدام إشارات تمديد للنطاق العريض في إرسال اتصالات الطوارئ



الشكل 2

نموذج الأنظمة الساتلية التي تستعمل إشارات تمديد للنطاق العريض



الجدول 1

نماذج الوصلات المفترضة في نظام ساتلي عريض النطاق

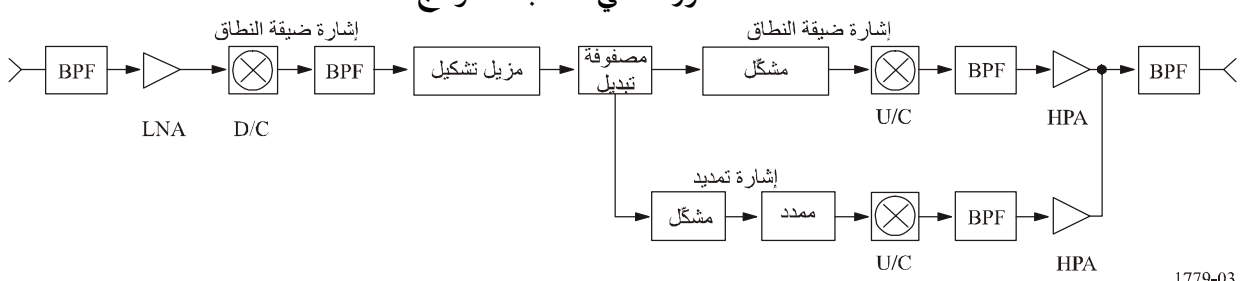
النموذج 2	النموذج 1	نقط المرسل المستجيب
غير مجدد	مجدد	
MHz 36/36	MHz 36/240	وصلة صاعدة/وصلة هابطة
FDMA وإشارة تمديد / FDMA وإشارة تمديد	FDMA/ FDMA	نظام الإرسال (وصلة صاعدة/وصلة هابطة)

**1.1.2** تضاف إشارات التمديد للنطاق العريض إلى الطيف الحالي الموزع للخدمة FSS في إطار توزيعات هذه الخدمة. ويكون عرض نطاق إشارات التمديد للنطاق العريض مماثلاً لعرض نطاق المرسل المستجيب للخدمة FSS والذي تتوزع ضمنه عدة موجات حاملة FDMA. ونتيجة لذلك سستعمل الإشارات الممددة نفس تردد عدة إشارات FDMA بمحاورة في نفس شبكات الخدمة FSS، مسببة بذلك تداخلاً في النظام.

**2.1.2** يستعمل النموذج 1 إرسالاً تقليدياً ضيق النطاق في الوصلة الصاعدة. وفيما يتعلق بالوصلة المابطة، ترسل إشارات التمديد للنطاق العريض في مرسل مستجيب بعرض نطاق واسع جداً مصمم لأنظمة الساتلية عريضة النطاق، بينما ترسل إشارات النطاق الضيق عبر مرسالات مستجيبات (مكررات) تقليدية ضيقة النطاق. وبين الشكل 3 مخططًا لجزء من الحمولة الساتلية في النموذج 1 يشرح كيفية معالجة الإشارات في الوصلة الصاعدة.

الشكل 3

### مخطط مكرر ساتلي حسب النموذج 1



1779-03

**3.1.2** فيما يتعلق بالوصلة الصاعدة، في النموذج 2، تضاف إشارات تمديد النطاق العريض إلى طيف النفاذ FDMA القائم؛ وترسل الإشارات FDMA وإشارات تمديد النطاق العريض عبر مكرر تقليدي. وفيما يتعلق بالوصلة المابطة، يعالج نوعاً الإشارة في مكرر تقليدي كما هو الحال في الوصلة الصاعدة تماماً.

**4.1.2** ويتألف القطاع الفضائي من ساتل واحد. وتعالج إشارات النطاق العريض والنطاق الضيق في محطة فضائية واحدة تضم هوائيًّا واحداً وترسل ضمن حزمة ساتلية واحدة. ومن ناحية أخرى، يفترض هنا استعمال نمط جديد من المطارات لا يستقبل إلا إشارات التمديد الآتية من الساتل. ويمكن فصل المعلمات التقنية لمستقبل النظام الساتلي عريض النطاق عن معلمات الأنظمة FSS القائمة.

**5.1.2** ويسيراً للعمليات الحسابية، وفيما يتعلق بالوصلة الصاعدة، ترسل كل من الإشارات FSS FDMA وإشارات التمديد للنطاق العريض من نفس المحطة الأرضية، ويوضح نوعاً المستقبلات في نفس النقطة على سطح الأرض، مما يلغي الحاجة إلى مراعاة مخططات هوائيات الساتل.

## 2.2 تحليل موازنة الوصلة وتقدير الأداء

يتم تقدير معدل المعطيات الناتج استناداً إلى موازنات الوصلة في النطاقات 14/12 GHz. وبينما يستعمل مكرر ونظام إرسال تقليديان في الوصلة الصاعدة، ينتج معدل معطيات النظام الساتلي عريض النطاق استناداً إلى معلمات الوصلة المابطة. ويجري الحساب باتباع المراحل التالية:

المراحل 1: استناداً إلى المعلمات النمطية لأنظمة الخدمة الثابتة الساتلية وقيمة النسبة  $C/I$  المطلوبة للموجات الحاملة FDMA، تحسب القدرة e.i.r.p. في الوصلة المابطة في النظام الساتلي عريض النطاق. ويتبع ذلك تحديد النسبة  $C/T$  المستقبلة في مستقبل الإشارات عريضة النطاق.

المراحل 2: استناداً إلى النسبة  $C/T$  المستقبلة المحددة، ينتج أفضل معدل معطيات كخطوة أولى لتحليل معدل المعطيات مع افتراض عدم وجود موجات حاملة FDMA.

المرحلة 3: كما في المرحلة 2 تماماً، ينبع معدل المعطيات مع مراعاة التداخل الناجم عن الموجات الحاملة FDMA في النظام الساتلي عريض النطاق.

وتعرض الفقرات التالية الإجراءات الواردة أعلاه مع مزيد من التفاصيل.

### 1.2.2 المرحلة 1

ترسل الموجات الحاملة التقليدية FDMA، كما يبين الشكل 4، إلى بعض أجزاء عروض نطاق المكرر بينما تضاف إشارات النظام الساتلي عريض النطاق إلى كامل عرض نطاق المكرر.

تتحدد أولاً قيمة النسبة  $C/I$  المطلوبة للموجات الحاملة FDMA، حيث  $C$  هي القدرة الناتجة عن إحدى الموجات الحاملة و  $I$  هي القدرة الناتجة عن النظام الساتلي عريض النطاق. وتستخدم هذه الدراسة نسبة  $C/I$  قدرها 20 dB.

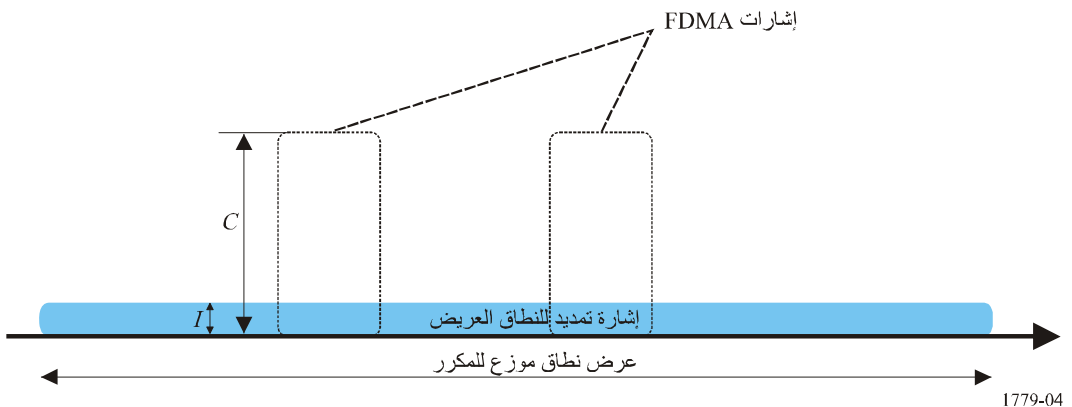
وبعد الحصول على القيمة  $C/I$  المطلوبة تستنتج قيمة القدرة e.i.r.p. المقبولة للمحطة الفضائية في النظام الساتلي عريض النطاق مع مراعاة عرض النطاق المشغول. ثم تحسب قيمة النسبة  $C/T$  الوالصلة إلى النظام،  $RX C/T$ ، في المعادلة التالية:

$$(1) \quad RX C/T = e.i.r.p. - L_p - M_{rain} + G/T \quad \text{dB}$$

حيث  $L_p$  و  $M_{rain}$  تمثل خسارة المسير في الفضاء الحر بين السائل والمستقبل على سطح الأرض، وهامش الحماية من المطر، وهوائي الاستقبال  $G/T$ ، على التوالي.

الشكل 4

إضافة إشارات ساتلية عريضة النطاق إلى الموجات الحاملة FDMA في الوصلة الهاابطة



### 2.2.2 المرحلة 2

عندما تتوفر القيمة  $RX C/T$ ، يمكن حساب معدل المعلومات بالمعادلة التالية:

$$(2) \quad R = RX C/T - (E_b/N_0)_{req} + 228,6 \quad \text{dB}$$

حيث  $(E_b/N_0)_{req}$  هي النسبة  $E_b/N_0$  المطلوبة والقيمة "228,6" هي ثابت بولتزمان.

ومعدل المعلومات المبين أعلاه هو أفضل معدل معطيات يقدر في ظرف يفترض عدم وجود موجات حاملة FDMA ضيقة النطاق.

### 3.2.2 المرحلة 3

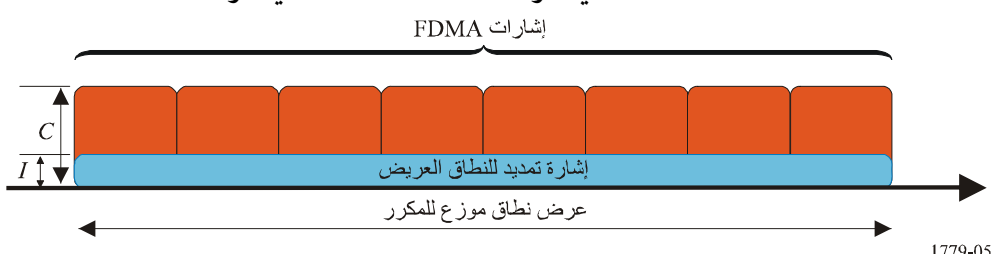
ويحسب أخيراً معدل المعطيات الممكن للأنظمة الساتلية عريضة النطاق في وجود عدة موجات حاملة FDMA ضيقة النطاق داخل نطاق المكرر. وفي هذه الحالة تعتبر النسبة  $C/T$  في مستقبل الوصلة الهاابطة في الموجات الحاملة FDMA تدالحاً في النظام الساتلي عريض النطاق. وللحصول على النسبة  $C/T$  العامة في حالة النموذج 1 تجمع القيمة  $C/T$  في مستقبل الوصلة الهاابطة للنظام الساتلي عريض النطاق مع التراجع في القيمة  $T$  في المستقبل عريض النطاق للوصلة الهاابطة والناتج عن التداخل الذي تسببه الموجات الحاملة FDMA. كما يمكن أيضاً تطبيق هذا الإجراء في حالة النموذج 2.

ويتم استعمال قنوات الموجات الحاملة FDMA لأغراض هذه الدراسة على النحو المبين في الشكل 5 بنسبة 100% أي استعمال كامل الطيف في عرض نطاق المكرر من قبل عدة موجات حاملة FDMA ضيقة النطاق. وأما الاستعمال بنسبة 50% فيعادل نصف عرض النطاق الذي تشغله الموجات الحاملة FDMA. وعندما يتم استعمال القناة بنسبة 100% مثلاً، فإن النظام الساتلي عريض النطاق يتطلب كسب تمدد أعلى من كسب المرحلة 2 بقدر 20 dB. ويلاحظ أن نطاقات الحراسة لم تؤخذ بالحسبان هنا تيسيراً للحساب.

وطريقة حساب معدل المعطيات هي نفسها الواردة في المرحلة 2.

الشكل 5

#### استعمال قناة بنسبة 100% في الموجات الحاملة FDMA في الوصلة الهاابطة



### 3.2 نتائج دراسة موازنة الوصلة

يشتمل الجدولان 2 و 3 على مجموعة المعلمات النمطية لنظام FSS وقيم القدرة e.i.r.p. في النظام الساتلي عريض النطاق. وفي حال افتراض أن القيمة  $C/I$  تساوي 20 dB، ستكون كثافة القدرة e.i.r.p. لإشارات التمدد 14,4 dB(W/MHz) في الجدول 3.

الجدول 2

#### المعلمات النمطية لنظام الخدمة الثابتة الساتلية (FSS)

ملاحظات	وصلة هابطة	وصلة صاعدة	المعلمة
	MHz 36,0	MHz 72,0	عرض نطاق الموجة الحاملة
	dBW 50,0	dBW 70,0	e.i.r.p. per carrier
	dB(W/MHz) 34,4	dB(W/MHz) 51,4	e.i.r.p. density

## الجدول 3

## قيم القدرة e.i.r.p. في النظام الساتلي عريض النطاق

النظام	dB(W/MHz) 31,4	dB(W/MHz) 51,4	وصلة صاعدة	وصلة هابطة	ملاحظات
FDMA e.i.r.p. للنظام				dB(W/MHz) 34,4	
e.i.r.p. per carrier				dB 20,0	
e.i.r.p. density				dB(W/MHz) 14,4	

وإجراء دراسة تفصيلية لموازنة وصلة ما، يُؤخذ مثال النموذجين 1 و 2 مع الملخص الوارد في الجداول من 4 إلى 7. وكما هو مبين في الجدول 2، ينتج عن عرض نطاق يبلغ MHz 72,0 e.i.r.p. قيمة dBW 70,0 قدرها e.i.r.p. قدرها dBW 67,0 في عرض نطاق MHz 36 حسب النموذج 1. أما في النموذج 2، ونظراً لأن سوية إشارة التمديد أقل بقدر dB 20 من سوية الإشارة FDMA، تنتج قيمة dBw 47,0 e.i.r.p. قدرها e.i.r.p. قدرها dB(W/K) 154,5 و dB(W/K) 134,5. ويتم حساب النسبة  $C/T$  في مستقبل الوصلة الصاعدة باستعمال المعادلة (1)، وتنتج استناداً إلى ذلك القيمتان 154,5 و 134,5 في النموذجين 1 و 2، على التوالي.

## الجدول 4

## موازنة الوصلة - 1 (الوصلة الصاعدة)

نظام ساتلي عريض النطاق	النموذج 1 (مجدّد)	النموذج 2 (غير مجدّد)	ملاحظات
عرض النطاق	MHz 36	MHz 36	
e.i.r.p. في محطة أرضية	dBW 67,0	dBW 47,0	استناداً إلى الجداولين 2 و 3
الخسارة في المسير	dB 206,5	dB 206,5	تردد التشغيل: GHz 14
توهين ناجم عن المطر	dB 0	dB 0	
النسبة $G/T$ في هوائي الاستقبال	dB/K 5,0	dB/K 5,0	
النسبة $C/T$ في مستقبل الوصلة الصاعدة	dB(W/K) 134,5-	dB(W/K) 154,5-	

ومع كثافة قدرة e.i.r.p. لإشارات التمديد قدرها dB(W/MHz) 14,4 كما يبين الجدول 3 وعرض نطاق وصلة هابطة قدرها MHz 240 كما في النموذج 1، ينتج أن قيمة القدرة e.i.r.p. في الساتل هي dBW 38,2. وبطريقة مماثلة ينتج أن قيمة القدرة e.i.r.p. في ساتل النموذج 2 هي dBw 30,0. وباستعمال المعادلة (1) ينتج أن النسبة  $C/T$  في مستقبل الوصلة الهابطة في النموذجين 1 و 2 هي 171,9 و 180,2 dB(W/K) على التوالي.

## الجدول 5

## موازنة الوصلة - 2 (الوصلة المابطة)

ملاحظات	المودج 2 (غير مجدد)	المودج 1 (مجدّد)	نظام ساتلي عريض النطاق
	MHz 36	MHz 240	عرض النطاق
استناداً إلى الجدول 3	dBW 30,0	dBW 38,2	القدرة e.i.r.p. في محطة أرضية
تردد التشغيل: GHz 12	dB 205,2	dB 205,2	الخسارة في المسير
	dB 0	dB 0	توهين ناجم عن المطر
هوائي مكاففي قطره 10 K 300 = $T_{sys}$ (dB <sub>i</sub> 19,8)	dB/K 5,0–	dB/K 5,0–	النسبة G/T في هوائي الاستقبال
	dB(W/K) 180,2–	dB(W/K) 171,9–	النسبة C/T في مستقبل الوصلة المابطة

وتأثر مطاراتيف المستعمل منخفضة الكسب بالتدخل الصادر عن السواتل المجاورة، مما يؤدي إلى انحطاط النسبة  $C/T$ . غير أن هذه الآثار لا تؤخذ في الحسبان عند حساب أفضل قيمة موازنة الوصلة في هذه الدراسة. وهذا موضوع سترد دراسته في الفقرة 2.4.2.

وبالتالي تكون النسبة  $C/T$  الكلية هي نفس النسبة  $C/T$  في مستقبل الوصلة المابطة، أي 171,9 و–180,2 للنموذجين 1 و 2، على التوالي.

## الجدول 6

## موازنة الوصلة - 3 (الكلية)

ملاحظات	المودج 2	المودج 1	نظام ساتلي عريض النطاق
استناداً إلى الجدولين 4 و 5	dB(W/K) 180,2–	dB(W/K) 171,9–	النسبة $C/T$ الكلية داخل النظام
	dB 0	dB 0	انحطاط النسبة $C/T$ الناجم عن تداخل السواتل المجاورة
	dB(W/K) 180,2–	dB(W/K) 171,9–	النسبة $C/T$ الكلية

وأخيراً، يمكن تقدير معدل المعطيات باستعمال المعادلة (2) كما يبين الجدول 7.

## الجدول 7

## معدل المعطيات الميسّر في النظام الساتلي عريض النطاق

ملاحظات	المودج 2	المودج 1	نظام ساتلي عريض النطاق
	dB(W/K) 180,2–	dB(W/K) 171,9–	النسبة $C/T$ الكلية
	dB 4,0	dB 4,0	النسبة $E_b/N_0$ المطلوبة
	dB(W/(K · Hz)) 228,6–	dB(W/(K · Hz)) 228,6–	ثابت بولتزمان
	dB(bit/s) 44,4 kbit/s 27,7	(bit/s)dB 52,7 kbit/s 184,8	تقدير معدل المعطيات

وفيما يتعلق بتشغيل موجات حاملة لخدمة FSS تكون القيمة المذكورة أعلى للنسبة  $I_0/N_0$  تساوي 1,3 dB وذلك بافتراض هوائي طوله 1,2 m (dB<sub>i</sub> 41,3) ودرجة حرارة نظام 120 K في المحطة الأرضية.

## 4.2 ملخص معدل المعطيات المتيسر

1.4.2 معدل المعطيات مع قيم مختلفة للنسبة  $C/I$ 

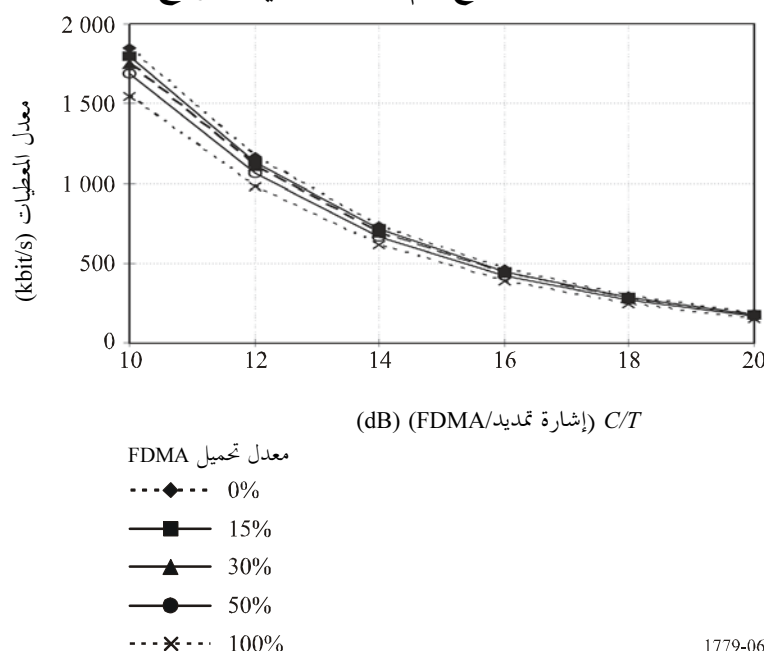
تنتج معدلات المعطيات فيما يتعلق بالنموذج 1 بقيم مختلفة للنسبة  $C/I$  في الوصلة المابطة كما بين الجدول 8 والشكل 6، حيث تمثل  $C$  القدرة الناجحة عن الموجات الحاملة FDMA وعن النظام الساتلي عربض النطاق، على التوالي. وتضبط قيمة كسب الهوائي وانحطاط النسبة  $C/T$  الناجم عن التداخل الذي تسببه السواتل المجاورة بالقيمتين 0 dB و 19,8 dB (أفضل حالة)، على التوالي. ويتج عن ذلك، مع العلم بأن معدل التحميل يبلغ 100% والقيمة  $C/I$  تبلغ 20 dB، معدل معطيات قابل للتحقيق قدره 154,9 kbit/s، مثلاً.

الجدول 8

معدل المعطيات (kbit/s) بقيم مختلفة للنسبة  $C/I$  في النموذج 1

معدل تحميل الموجات الحاملة FDMA (%)					$C/I$ (dB)
100	50	30	15	0	
1 548,5	1 685,1	1 746,7	1 795,9	1 848,0	10
977,0	1 063,2	1 102,1	1 133,2	1 166,0	12
616,5	670,8	695,4	715,0	735,7	14
389,0	423,3	438,7	451,1	464,2	16
245,4	267,1	276,8	284,6	292,9	18
154,9	168,5	174,7	179,6	184,8	20

الشكل 6

معدل المعطيات مع قيم  $C/I$  مختلفة في النموذج 1

#### 2.4.2 معدل المعطيات مع قيم مختلفة لانحطاط النسبة $C/T$ بسبب التداخل الناجم عن السوائل المجاورة

قد تتأثر مطارات المستعمل منخفضة الكسب من جراء التداخل الناجم عن السوائل المجاورة؛ ويظهر ذلك على شكل انحطاط النسبة  $C/I$ . ومن أجل تقدير تأثير التداخل هذا تستخدم المعلمات التالية:

- فتحة حزمة الهوائي (HPBW): فتحة حزمة بنصف القدرة قدرها  $20^{\circ}$ ، وهوائي مكافئ قطره  $10 \text{ cm}$  ( $\text{dBi} 19,8$ )؛
- سوائل مجاورة مع تباعد قدره  $2^{\circ}$ . وتضم فتحة حزمة قدرها  $20^{\circ}$  عشرة سوائل؛
- سوية استقبال كل سائل مجاور هي نفس سوية السائل المطلوب وذلك في حالة الفتحة العريضة؛
- نصف السوائل المجاورة العشرة (أي خمسة سوائل) تسبب تداللاً في الإشارة المطلوبة. وبالتالي، يساوي انحطاط النسبة  $C/T$  الذي يسببه التداخل الناجم عن خمسة سوائل مجاورة  $7 \text{ dB}$ .

ويبين الجدول 9 والشكل 7 معدلات المعطيات مع سويات مختلفة لانحطاط النسبة  $C/T$  الذي يسببه التداخل الناجم عن السوائل المجاورة. وقيمة معدل التحميل في السوائل المجاورة في هذا الحساب مضبوطتان على  $20 \text{ dB}$  و $100\%$ ، على التوالي. ويجدر بالذكر أن قيم انحطاط النسبة  $C/T$  التي تظهر على المحور الأفقي يمكن تحويلها إلى عدد سوائل مجاورة.

الجدول 9

#### معدل المعطيات (kbit/s) لسويات انحطاط النسبة $C/I$ بسبب التداخل للنموذج 1

$20$ (100)	$14$ (25)	$10$ (10)	$7$ (5)	$3$ (2)	$0$ (0)	$(C/T)_{deg}$ $(N_s)$	$R_{load}$
9,1	31,5	63,0	93,8	133,3	184,8	%0	
8,3	28,8	57,4	85,6	121,6	168,5	%50	
7,6	26,4	52,8	78,6	111,7	154,9	%100	

:  $(C/T)_{deg}$  سوية انحطاط النسبة  $C/T$  بسبب التداخل الناجم عن السوائل المجاورة (dB)

:  $N_s$  عدد السوائل المجاورة

:  $R_{load}$  معدل التحميل في السائل المطلوب.

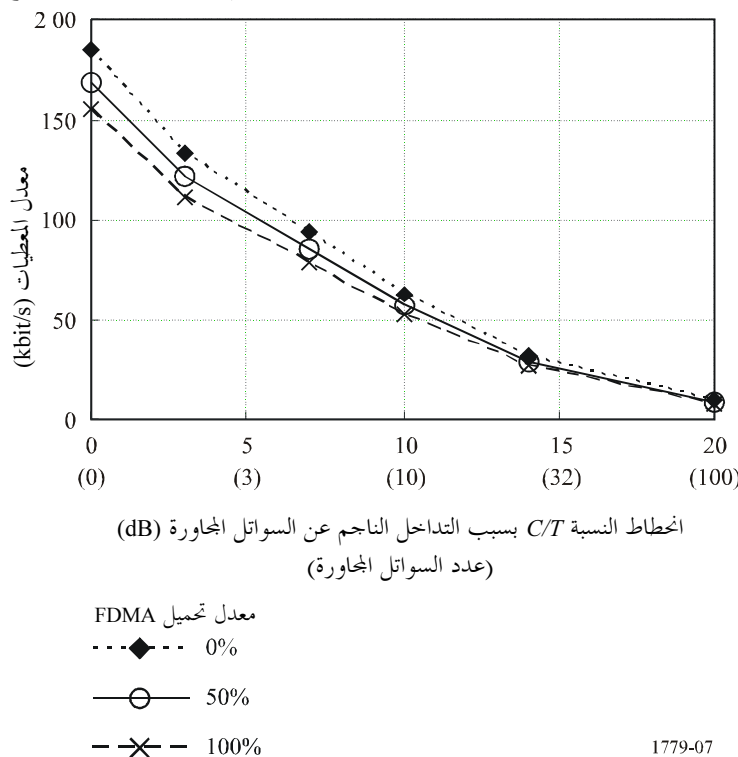
#### 5.2 تأثير إضافة إشارات تمديد النطاق العريض إلى موجات حاملة FDMA

قد تتأثر الموجات الحاملة FDMA بإشارات التمديد العاملة بنفس التردد. ويجري تقييم الآثار للوصلة المابطة في التحليل التالي لوازنة الوصلة.

وتعد المعلمات النمطية للنظام FSS في الفقرة 3.2، وهي تحدد النسبة  $C/T$  لاستقبال الوصلة المابطة بالقيمة  $140,1 \text{ dB(W/K)}$ ، كما بين الجدول 10. ويلاحظ أن هذا الجدول لا يراعي أثر إشارات التمديد على الموجات الحاملة FDMA، وهو أمر سيناقش فيما بعد.

الشكل 7

معدل المعطيات لسويات الخطاط النسبة  $C/T$  الناجم عن التداخل للنموذج 1



الجدول 10

موازنة وصلة النظام FDMA (الوصلة المابطة)

ملاحظات	الوصلة المابطة	النظام FDMA
	MHz 36	عرض النطاق
استناداً إلى الجدول 2	dBW 50,0	القدرة e.i.r.p. في الساتل
تردد التشغيل: GHz 12	dB 205,2	الخسارة في المسير
	dB 0	التوهين الناجم عن المطر
	dB 0	الخطاط النسبة $C/T$ بسبب التداخل الناجم عن إشارات التمدید المضافة
	dB/K 15,1	النسبة $G/T$ هوائي الاستقبال
	dB(W/K) 140,1-	النسبة $C/T$ لمستقبل الوصلة المابطة

وبافتراض أن القيمة الدنيا للنسبة  $C/T$  لوجة حاملة تساوي  $dB(W/K) 175,9$  kbit/s 64 وهامش حماية النظام يساوي 10 db، تكون القيمة  $C/T$  المطلوبة  $-dB(W/K) 165,9$ .

الجدول 11

## نظام FDMA في C/T المطلوبة نسبة

FDMA النظام	النقطة	النظام
(kbit/s 64) C/T	أدنى	dB 4,6 = $E_b/N_0$ , $10 \times 1 = \text{BER}$
هامش النظام	هامش	dB 10
النسبة C/T المطلوبة	النسبة	dB(W/K) 165,9-

وأخيراً، ينتج عدد القنوات الذي يمكن تحقيقه كما هو مبين في الجدول 12.

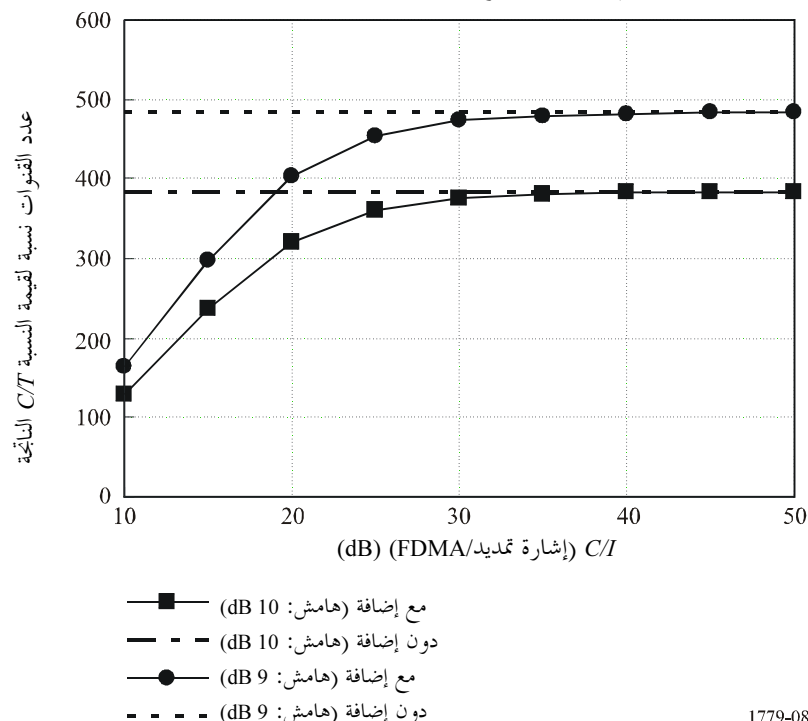
الجدول 12

## عدد القنوات الممكن تحقيقه

FDMA النظام	النقطة	النظام
الهامش	الهامش	استناداً إلى الجداول 10 و 11
عدد القنوات	عدد	384

سيتراجع عدد القنوات في بيئة الإضافة نسبة للقيمة الواردة أعلاه. ويتم تقدير تأثير إضافة إشارات التمديد إلى الموجات الحاملة FDMA نسبة إلى عدة قيم للنسبة  $C/I$ ، حيث  $C$  و  $I$  هما القدرة الناتجة لإحدى الموجات الحاملة FDMA وللنظام الساتلي عريض النطاق على التوالي. وبين الشكل 8 عدد القنوات FDMA مع إشارات التمديد المضافة ودون هذه الإشارات.

الشكل 8

عدد القنوات نسبة إلى قيمة مختلفة  $C/I$  مع إضافة إشارات التمديد إلى الموجات الحاملة FDMA

وُظِّهِرَ النتائج أن عدد القنوات FDMA يتناقص كلما ازداد التداخل الناجم عن إشارات التمديد المضافة أي عندما تتناقص قيمة النسبة  $C/I$ . وفي مثل هذه الحالات من الممكن زيادة عدد القنوات المتيسرة من خلال خفض هامش وصلة النظام. ويمكن استناداً على الظروف التشغيلية تحديد عدد الموجات الحاملة FDMA نسبة إلى مقدار التداخل الناجم عن إشارات التمديد المضافة الذي ينبغي أن تتسامح به الموجة الحاملة FDMA الواحدة.

## 6.2 الدراسة

يرتبط معدل المعطيات الذي يمكن تحقيقه كما تبين النتائج الواردة أعلاه على معدل تحميل الموجات الحاملة FDMA ومعايير النسبة  $C/I$  وسويات انحطاط النسبة  $C/T$  بسبب التداخل داخل وأو بين الأنظمة وتوزيعات التداخل في الموجات الحاملة العاملة بنفس التردد. وعلى الرغم من الحصول على معدل معطيات منخفض نسبياً إلا أنه كافٍ لإيصال معلومات الطوارئ منخفضة المعدل.

ونظراً لاستخدام النموذج المقترن للنظام استناداً إلى التداخل في النظام شريطة ضبط التداخل الكلي في النظام الساتلي المجاور، فإنه يمكن انتقاء قيمة النسبة  $C/I$  ومعدل التحميل بصورة ملائمة تبعاً للسياسة التشغيلية وتصميم النظام. وبالإمكان في حالة الكوارث الطبيعية إرسال إشارات التمديد فقط باستعمال كامل المكرر من أجل تأمين إرسال معلومات الطوارئ دون تحصيص مسبق للمكرر وأو فواصل التردد.

وقد يزيد نظام الإضافة سوية الضوضاء أي النسبة  $I_0/N_0$  في الموجات الحاملة FDMA يتناقص بازدياد التداخل الناجم عن إشارات التمديد المضافة استناداً إلى النتائج الواردة في الفقرة 5.2. أي بتناقص قيمة النسبة  $C/I$ ، فإن نقص عدد القنوات يمكن التعويض عنه باستعمال هوائي أصغر ومعدل معطيات يقبل إشارات التمديد للنطاق العريض. ونظراً لأن الأمر يتعلق بتدخل داخل الأنظمة (وليس بين الأنظمة) فإن هذا التداخل يشكل أحد الأهداف التي ينشد مصممو الوصلة الساتلية وأو مشغلو السواتل في التحكم بها.

## 3 التطبيق 2 - نظام ساتلي مع عروض نطاق مكرسة لإشارات FDMA وإشارات التمديد للنطاق العريض على حد سواء

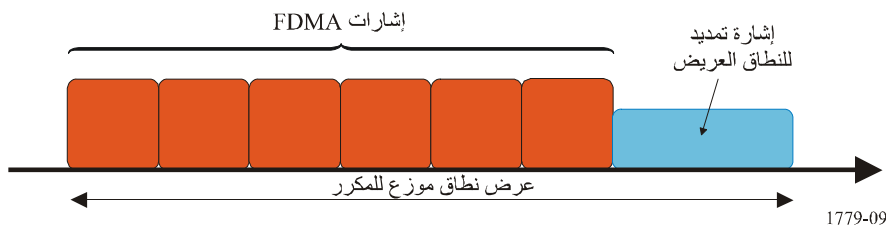
### 1.3 نوذج النظام

إن مفاهيم النظام ونماذج الوصلات المفترضة هي نفسها المفاهيم والنماذج التي استخدمت في التطبيق 1، أي الواردة في الشكل 2. غير أن استعمال طيف الخدمة FSS مختلف عن التطبيق 1 إلى الطيف الحالي الموزع للخدمة FSS في إطار التوزيعات لهذه الخدمة، فإن عروض نطاق الإشارات FDMA وإشارات التمديد في التطبيق 2 منفصلة؛ أي أن عروض النطاق المكرسة موزعة لإشارات التمديد. وفيما يلي السيناريوهات الخاصة بالتطبيق 2. ويظهر نوذج الوصلة المستخدمة والمسمي النوذج 3 في الجدول 13:

- ترسل إشارات التمديد للنطاق العريض في عروض نطاق مكرسة كما يبين الشكل 9. وبما أن إشارات التمديد ترسل منفصلة عن الإشارات FDMA ضمن التوزيع القائم للخدمة FSS لنفس شبكات الخدمة FSS فلا يكون هناك تداخل داخل النظام؛
- يستخدم في الوصلة الصاعدة مكرر من النمط المحدد مع عرض نطاق ضيق؛
- يوزع للوصلة المابطة جزء معين من توزيع الخدمة FSS لأغراض إشارات التمديد؛
- يفترض أن تسهل المطاراتيف هوائي شامل الاتجاهات أو شبه شامل الاتجاهات عمليات التركيب والصيانة. وتأثير المطاراتيف المزودة بهذه الهوائيات بالتدخل الناجم عن السواتل المجاورة، لكن كسب التمديد يخفف من الانحطاط الذي يسببه التداخل بين الأنظمة.

الشكل 9

التوزيع المكرر لإشارات التمديد في الوصلة المابطة



1779-09

الجدول 13

## غاذج وصلات في التطبيق 2

ملاحظات	النموذج 3	
	مجدد	نمط المكرر
	dBW 77/MHz 36	عرض نطاق/قدرة e.i.r.p. (الوصلة الصاعدة)
أعلى قدرة e.i.r.p. مستخدمة هي 1 dBW 62,1	dBW 52,1/MHz 3,6	عرض نطاق/قدرة e.i.r.p. (الوصلة المابطة)
	FDMA/FDMA وإشارة تمديد	نظام الإرسال (وصلة صاعدة/وصلة هابطة)

## 2.3 تحليل موازنة الوصلة وتقدير الأداء

يقدر معدل المعطيات الممكن بالاستناد إلى موازنة الوصلات في النطاقات 14/12 GHz. ويجري الحساب تماماً كما في التطبيق 1 باستثناء معلمات النسبة  $C/I$ :

- تعطي معلمات أنظمة الخدمة FSS وعرض النطاق الموزع لإشارات التمديد النسبة  $C/T$  في مستقبل الإشارة عريضة النطاق في الوصلة المابطة؛
- يتم الحصول على معدل المعطيات باستعمال النسبة  $C/T$  المحددة للاستقبال.

ونظراً لعدم وجود تداخل بين الإشارات FDMA وإشارات التمديد، تعتبر قيمة النسبة  $C/I$  التي استخدمت في التطبيق 1 لا متناهية في هذا التحليل.

## 3.3 نتائج تحليل موازنة الوصلة

تحسب النسبة  $C/T$  لمستقبل الوصلة الصاعدة باستعمال المعادلة (1)، وتكون القيمة  $C/T$  للاستقبال في الوصلة الصاعدة  $-\text{dB}(W/K) 134,5$ ، كما يبين الجدول 14. وفي الوصلة المابطة تعطي المعادلة (1) أيضاً النسبة  $C/T$  لمستقبل الوصلة المابطة  $-\text{dB}(W/K) 172,9$ ، كما يظهر في الجدول 15.

الجدول 14

## موازنة الوصلة - 1 (الوصلة الصاعدة)

ملاحظات	النموذج 3	النظام الساتلي عريض النطاق
	MHz 36	عرض النطاق
	dBW 67,0	القدرة e.i.r.p. في المحطة الأرضية
تردد التشغيل: GHz 14	dB 206,5	الخسارة في المسير
	dB 0	التوهين الناجم عن المطر
	dB/K 5,0	النسبة $G/T$ في هوائي الاستقبال
	$-\text{dB}(W/K) 134,5$	النسبة $C/T$ في مستقبل الوصلة الصاعدة

## الجدول 15

## موازنة الوصلة - 2 (الوصلة الهاابطة)

ملاحظات	النموذج 3	النظام الساتلي عريض النطاق
	MHz 3,6	عرض النطاق للموجة الحاملة الواحدة
	dBW 52,1	القدرة e.i.r.p. الناتجة عن الساتل في الموجة الحاملة الواحدة
تردد التشغيل: GHz 14	dB 205,2	الخسارة في المسير
	dB 0	التوهين الناجم عن المطر
هوائي الرفع 5(dBi)، K 300 = $T_{sys}$	dB/K 19,8-	النسبة G/T في هوائي الاستقبال
النسبة C/T المثلثية داخل النظام	dB(W/K) 172,9-	النسبة C/T في مستقبل الوصلة الهاابطة

كما يستخدم التطبيق 2 المطاريف ذات الهوائي منخفض الكسب التي تتأثر بالتدخل الناجم عن السواتل المجاورة. غير أن هذه المرحلة تفترض الظروف المثالية وهي عدم وجود تداخل؛ وتعد معدلات المعطيات بوجود التداخل في الفقرة 2.4.3.

## الجدول 16

## موازنة الوصلة - 3 (الكلية)

ملاحظات	النموذج 3	النظام الساتلي عريض النطاق
استناداً إلى الجدول 15	dB(W/K) 172,9-	النسبة C/T الكلية داخل النظام
	dB 0	الخطأ الناجم C/T بسبب التداخل الناجم عن الأنظمة الأخرى
	dB(W/K) 172,9-	النسبة C/T الكلية

أخيراً، تعطي المعادلة (2) تقدير معدل المعطيات كما يبين الجدول 17.

## الجدول 17

## معدل المعطيات في النظام الساتلي عريض النطاق

ملاحظات	النموذج 3	النظام الساتلي عريض النطاق
	dB(W/K) 172,9-	النسبة C/T الكلية
	dB 4,0	النسبة $E_b/N_0$ المطلوبة
	dB(W/(K · Hz)) 228,6-	ثابت بولتزمان
	dB(bit/s) 51,7 kbit/s 148,9	تقدير معدل المعطيات

## ملخص دراسة معدل المعطيات المتيسر

4.3

## معدل المعطيات في عروض نطاق مختلفة لإشارات التمديد

1.4.3

عروض النطاق المكرسة موزعة في التطبيق 2 على إشارات التمديد. ومن أجل تقييم كيفية تأثير عرض النطاق على معدل المعطيات تؤخذ أنماط عروض النطاق في الحساب مع النتائج الواردة في الجدول 18 والشكل 10 والخاصة بالنموذج 3. ويجدر بالذكر أن الدراسة تفترض أن القدرة e.i.r.p. في الوصلة الهاابطة ترداد بازدياد عرض نطاق هذه الوصلة. وتستخدم الدراسة

أيضاً نوعان من الهوائيات هما الهوائي شامل الاتجاه (0 dBi) وهوائي الرق (5 dBi)؛ أما انحطاط النسبة  $C/T$  الذي يسببه التداخل الناجم عن الأنظمة الأخرى فلا يؤخذ بالحسبان لدى تقييم الحالة الأفضل.

واستناداً إلى النتائج، يبدو أنه من الممكن الحصول على معدل معطيات يساوي عدة عشرات kbit/s على الرغم من ضيق عرض نطاق الشديد. ومن الواضح أن عرض النطاق الضيق كاف لإرسال المعلومات منخفضة المعدل في ظروف تشغيل عادية، بينما يمكن الحصول على معدل معطيات أعلى من خلال تغيير عروض نطاق إشارات التمديد والإشارات FDMA.

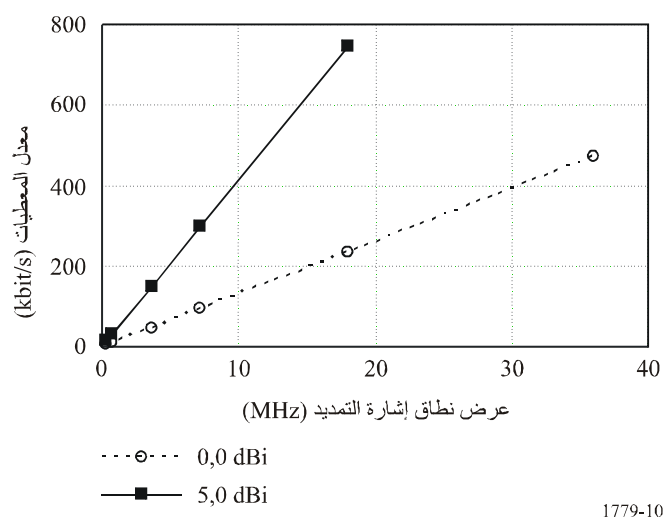
### الجدول 18

معدل معطيات (kbit/s) في عروض نطاق مختلفة لإشارات التمديد

عرض نطاق إشارات التمديد (MHz)						نوع الهوائي (شامل) dBi 0,0
36	18	7,2	3,6	0,72	0,36	
470,8	235,4	94,2	47,1	9,4	4,7	
1 488,7	744,4	297,8	148,9	29,8	14,9	dBi 5,0

### الشكل 10

معدل معطيات في عروض نطاق مختلفة لإشارات التمديد



1779-10

#### 2.4.3 معدل المعطيات في سويات انحطاط النسبة $C/T$ بسبب التداخل الناجم عن السواتل المجاورة

من أجل تقييم انحطاط النسبة  $C/T$  الذي يسببه التداخل الناجم عن السواتل المجاورة تتبع المراحل التالية تماماً كما في التطبيق 1:

المرحلة 1: يقع الجزء الأكبر من المدار المستقرة بالنسبة إلى الأرض (أي 100°) داخل الحزمة الرئيسية لهوائي شامل الاتجاهات تقريباً يبلغ كسب 5 dBi.

المرحلة 2: تتموضع السواتل المجاورة بتباعد قدره 2°. ويوجد 50 ساتلاً داخل فتحة قدرها 100°.

المرحلة 3: لا يوجد فرق في كسب هوائيات منخفضة الكسب من هذا القبيل ضمن مدى عشرات الدرجات من الخور الرئيسي. وبالتالي، تبقى سوية استقبال كل ساتل مجاور مماثلة للسوية الواردة من الساتل المطلوب.

المرحلة 4: يسبب نصف السواتل المجاورة الخمسين (25 ساتلاً) تدخلاً في الإشارة المطلوبة يسبب انحطاطاً في النسبة  $C/T$  قدره 14 dB.

ويعطي الجدول 19 والشكل 11 معدلات المعطيات عند سويات مختلفة لانحطاط النسبة  $C/T$  بسبب التداخل الناجم عن السواتل المجاورة (النموذج 3). وفي هذا الحساب يتحذ عرض النطاق المكرس لإشارات التمديد ومعدل التحميل في السواتل المجاورة القيمتين 3,6 MHz و100%، على التوالي، ويستخدم نوعان من الهوائي.

الجدول 19

**معدل معطيات (kbit/s) لسويات انحطاط النسب  $C/T$  بسبب التداخل الناجم عن السواتل المجاورة (النموذج 3)**

20 (100)	14 (25)	10 (10)	7 (5)	3 (2)	0 (0)	$(C/T)_{deg}$ $(N_s)$
11,0	25,8	35,4	40,4	44,2	47,1	dBi 0,0 (شامل)
13,1	41,3	73,0	97,9	123,3	148,9	dBi 5,0 (رقم)

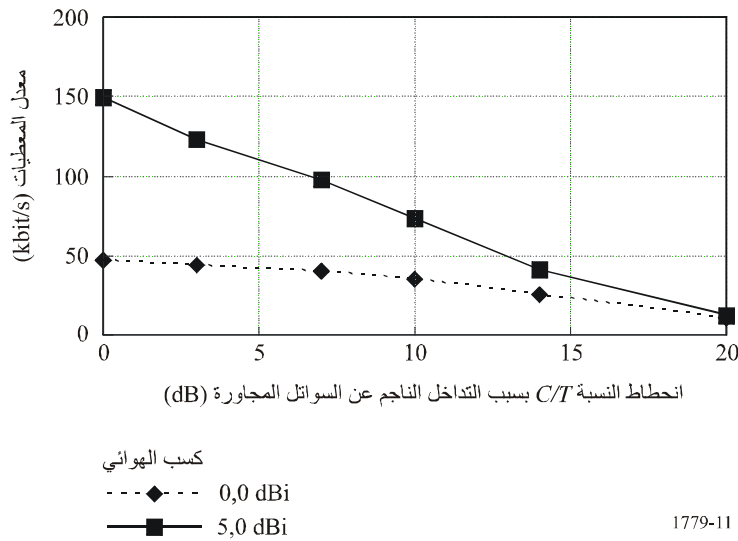
سوية انحطاط النسبة  $C/T$  بسبب التداخل الناجم عن السواتل المجاورة (dB) :  $(C/T)_{deg}$

عدد السواتل المجاورة :  $N_s$

كسب هوائي مطراف المستعمل :  $G_r$

الشكل 11

**معدل المعطيات مع عدة سويات انحطاط في النسبة  $C/T$  بسبب التداخل الناجم عن السواتل المجاورة (النموذج 3)**



1779-11

### 5.3 التحليل

من أجل تسهيل عمليات التركيب والصيانة عند وقوع كوارث طبيعية وفي حالات الطوارئ، يستحسن استعمال المطارات ذات الهوائي منخفض الكبس. وعلى الرغم من وجود سياسة تشغيلية قادرة على تحديد سوية التداخل في النظام، فإنه يتعدد تجنب انحطاط النسبة  $C/T$  الذي يسببه التداخل الناجم عن السواتل المجاورة. وهذا النوع من التداخل غير المضبوط من شأنه أن يؤثر كثيراً على معدل المعطيات.

وتظهر النتائج إمكانية تحقيق معدل معطيات بعشرين kbit/s حتى ولو أثر التداخل الناجم عن السواتل المجاورة على الإشارات المطلوبة. وبما أن تباعد عروض النطاق هو أهم مزايا هذا التطبيق مقارنة بالتطبيق 1، فإن مصممي النظام يستطيعون استعمال إشارة التمديد دون تسبب تداخل في الإشارات FDMA التقليدية.

## 4 ملخص التحليل

- يقدم هذا الملحق خصائص نظام ساتليٍ يعمل بإشارات تمديد للنطاق العريض من خلال تطبيقيْن حيث:
- تضاف إشارات التمديد إلى الإشارات FDMA التقليدية داخل نفس شبكات الخدمة FSS؛
  - توزع عروض النطاق المكرسة على إشارات التمديد.

ويستطيع مصممو النظام أن يعرفوا أنظمة الخدمة FSS التي تستعمل إشارات التمديد للنطاق العريض معرفة جيدة بفضل نماذج النظام والخصائص التقنية التي تقدمها هذه الدراسة.

ونظرًاً لما يحدث هذه الأيام من كوارث طبيعية، فالتتمكن من إيصال معلومات الطوارئ إلى سكان المناطق التي تعاني من مثل هذه الكوارث فور وقوعها أمر بغاية الأهمية. وفي مثل هذه الكوارث الطبيعية وحالات الطوارئ، يمكن استخدام النظام المقترن هنا في عمليات الإنذار والإغاثة.

## الملحق 2

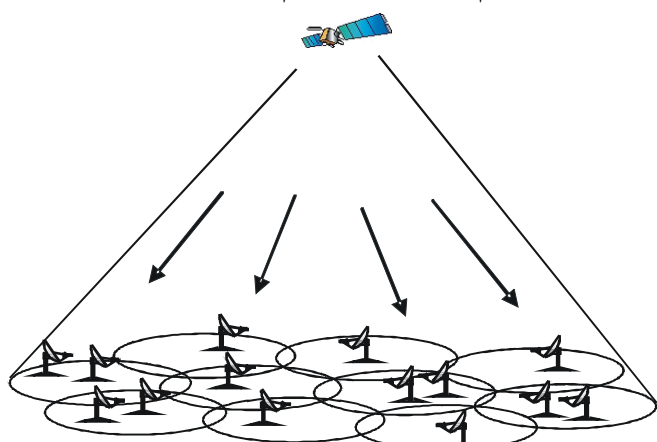
### نظام خدمة ثابتة ساتلية مزود بعدد من الحزم النقطية الضيقية التي تستعمل نفاذًا متعددًا بتقسيم شفري (CDMA) (إشارات تمديد للنطاق العريض)

## 1 نظرة عامة

يتناول هذا الملحق بالدراسة استعمال تقنيات النفاذ CDMA في الأنظمة FSS التي تستخدم سواتل مع عدد من الحزم النقطية الضيقية. وبين الشكل 12 المخطط العام لنظام الخدمة FSS. وترتدى المعلومات الأساسية لهذا النظام في الجدول 20. ومن أجل التتحقق من فعالية استعمال تقنية النفاذ CDMA في هذا النوع من الأنظمة FSS، يجري تحليل استطاعة القناة في الحالة CDMA مقارنة باستطاعة القناة في حالات النفاذ FDMA. وتقتصر الدراسة من باب التيسير على الوصلات الهاابطة. وتفترض أن يكون قطر المداري 45 cm، وهامش الحماية من المطر 3 dB (مطر معتدل)، وتردد الوصلة الهاابطة 12,5 GHz. أما عدد الحزم النقطية، فهو 14 (انظر الشكلين 13 و 16 لرؤيه ترتيبها).

الشكل 12

النظام FSS بعدد من الحزم النقطية الضيقية



## الجدول 20

## المعلمات الأساسية للنظام FSS المزود بعدد من الحزم النقطية الضيقية

الملاحظات	القيمة	المعلمات
	12,5	تردد الوصلة المابطة (GHz)
	36,0	عرض نطاق المكرر (MHz)
	61,02	القدرة e.i.r.p في السائل المشبع (dBW)
	205,5	خسارة الانتشار في الوصلة المابطة (dB)
مطر معقول	3,0	هامش الحماية من المطر في الوصلة المابطة (dB)
قطر يساوي 45 cm	11,19	النسبة G/T في مطراف المستعمل (dB/K)
	14	عدد الحزم النقطية

## 2 استطاعة القناة في حالة النفاذ FDMA

عند استخدام النفاذ FDMA كنظام نفاذ متعدد في النظام FSS المزود بعدد من الحزم النقطية لا بد من تقطيع التردد في الحزم النقطية من أجل تجنب التداخل الناجم عن الحزم النقطية المجاورة، كما هو مبين في الشكلين 13 و 14.

وكمما هو الحال في الشبكات الخلوية للأرض، يمكن استعمال الخلايا سداسية الشكل لتصميم تغطية ساتلية بالحزم النقطية. وهناك عدة أنظمة لإعادة استعمال التردد (مثل عامل إعادة استعمال التردد مع النطاقات 3 و 4 و 7 و 9 و 13، إلخ). ويتحدد نظام إعادة استعمال التردد من خلال توافق بين فعالية الطيف ومقدار التداخل الناجم عن الخلايا الأخرى (أي الحزم النقطية) في القناة المشتركة. وتفترض هذه الدراسة أن عامل إعادة استعمال التردد هو 7 وهو التردد المستخدم مادة في الأنظمة الخلوية لعدد حزم نقطية قدره 14.

وتحسب استطاعة القناة المحددة بعرض النطاق،  $N_{FDMA-BW}$ ، في الحالة FDMA باستعمال المعادلة التالية:

$$(3) \quad N_{FDMA-BW} = B_t / (B_c \cdot K) \cdot M = B_t / (R / \eta \cdot K) \cdot M$$

حيث  $B_t$  و  $B_c$  و  $R$  و  $\eta$  و  $K$  تمثل كامل عرض النطاق وعرض نطاق القناة ومعدل المعلومات وفعالية عرض النطاق (نسبة معدل المعلومات لكل وحدة عرض نطاق) وعامل إعادة استعمال التردد وعدد الحزم النقطية، على التوالي.

ومن ناحية أخرى تحسب استطاعة القناة المحددة بالقدرة،  $N_{FDMA-POW}$ ، في الحالة FDMA باستعمال المعادلة التالية:

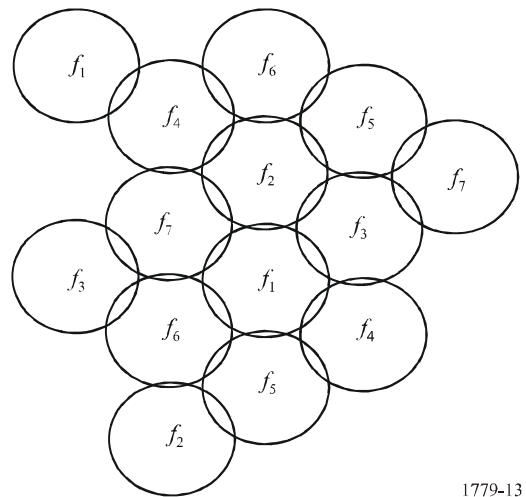
$$(4) \quad N_{FDMA-POW} = (C/N_0) / (E_b/N_0)_{th} \cdot \alpha$$

حيث  $C$  و  $N_0$  و  $E_b/N_0$  تمثل القدرة الكلية المستقبلة المتيسرة في النظام FSS وكثافة الضوضاء في النظام (AWGN) والنسبة  $E_b/N_0$  المطلوبة مع فائدة تشغيل المعطيات (الصوتية)، على التوالي.

ونتيجة لذلك تتحدد استطاعة قناة النفاذ FDMA بأصغر قيمتين  $N_{FDMA-POW}$  و  $N_{FDMA-BW}$ .

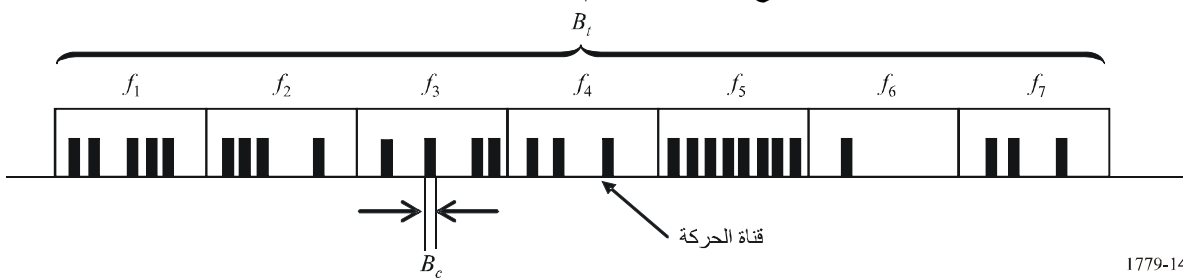
الشكل 13

ترتيب الحزم النقطية وإعادة استعمال التردد في نظام FSS بنفاذ FDMA



الشكل 14

توزيع الترددات في نظام FSS بنفاذ FDMA



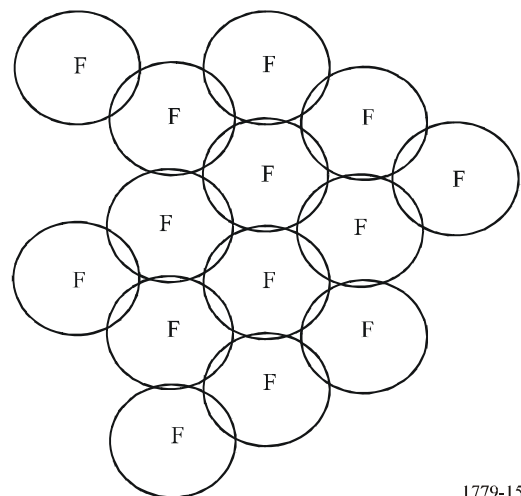
### 3 استطاعة القناة في حالة النفاذ CDMA

عند استخدام النفاذ CDMA كنظام نفاذ متعدد لا حاجة إلى تقطيع التردد في الحزم النقطية (الشكلان 15 و 16). ويمكن استعمال كامل عرض النطاق (أي  $B_t$ ) في جميع الحزم النقطية، خلافاً لما يجري في حالة النفاذ FDMA. ففي حالة FDMA، تتحدد استطاعة القناة بصورة رئيسية من خلال كمية التداخل الناجم عن القنوات CDMA الأخرى العاملة في نفس الحزمة النقطية وفي الحزم النقطية المجاورة.

ويبيّن الشكل 17 عملية التشكيل (تشكيل أولي وتشكيل ثانوي) في النفاذ CDMA. و $r_1$  و $r_2$  هما معدل الإرسال بعد التشكيل الأولي (وبضم التصحيح FEC) وبعد التشكيل الثانوي على التوالي. أما  $b_1$  و $b_2$  فهما عرض نطاق الضوضاء المكافحة للتشكيل الأولي والتشكيل الثاني على التوالي. ويتحدد كسب التمدید  $G_p$  باعتباره نسبة  $b_2$  إلى  $r_1$  (أي  $b_2/r_1 = G_p$ ).

الشكل 15

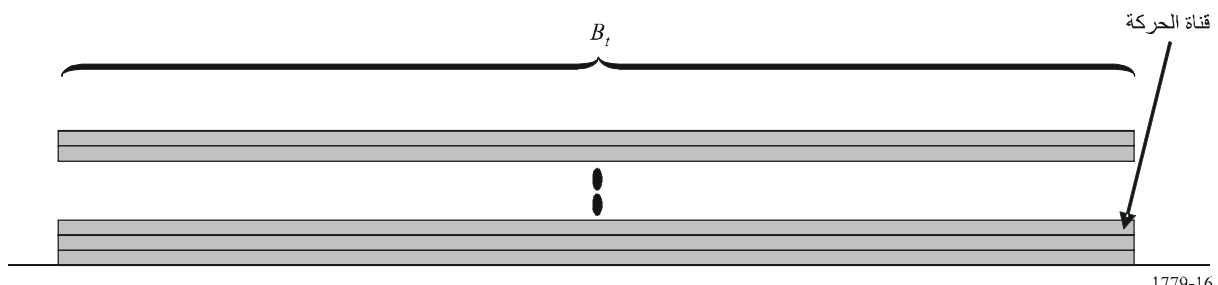
ترتيب المزم المقطعي في نظام الخدمة FSS يعمل بنفاذ FDMA



1779-15

الشكل 16

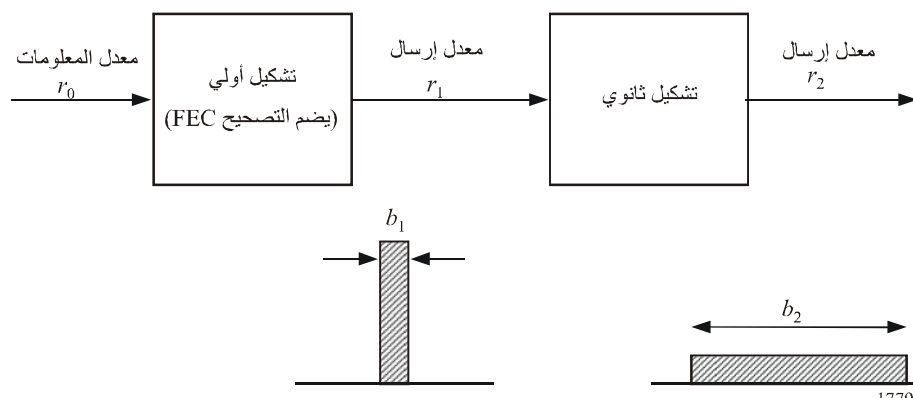
توزيع التردد لنظام خدمة FSS يعمل بالنفاذ CDMA



1779-16

الشكل 17

عملية تشكيل إشارة نفاذ CDMA



1779-17

وترصد الإشارة المطلوبة وضوباء النظام والتدخل الناجم عن قنوات CDMA أخرى عند مدخل المستقبل في الحالة، كما يبين الشكل 18. وفيما يلي مراحل حساب استطاعة القناة في الحالة CDMA:

المرحلة 1: يعبر عن القدرة المستقبلة لقناة مطلوبة واحدة  $C'$  بالعلاقة  $C/N_{CDMA} = C'$  حيث  $C$  تمثّل القدرة الكلية المستقبلة المتيسرة في النظام FSS، واستطاعة القناة في الحالة CDMA.

المرحلة 2: يعبر عن كثافة التداخل الناجم عن قنوات CDMA أخرى  $I_0$ ، بـالعلاقة  $I_0 = (N_{CDMA} - 1)/b_2 * C/N_{CDMA}$ . و  $b_2$  هو عرض النطاق المكافئ للتشكيل الثنائي، كما يبين الشكل 17. وتتحدد كثافة ضوباء النظام دون مراعاة التداخل الناجم عن القنوات CDMA الأخرى باعتبارها  $N_0$  (كثافة الضوباء البيضاء الغوسية الإضافية (AWGN));

المرحلة 3: استناداً إلى المرحلتين 1 و 2 يعبر عن  $C'/(N_0 + I_0)$  على النحو التالي:

$$(5) \quad C'/(N_0 + I_0) = (C/N_{CDMA})/(N_0 + C/N_{CDMA} * (N_{CDMA} - 1)/b_2)$$

المرحلة 4: وعند إجراء عملية التقريب 1  $\doteq N_{CDMA}$  يمكن تبسيط المعادلة (5) على النحو التالي:

$$(5bis) \quad C'/(N_0 + I_0) = (C/N_{CDMA})/(N_0 + C/b_2)$$

المرحلة 5: يمكن التعبير من جهة أخرى عن  $C'/(N_0 + I_0)$  بالنسبة  $E_b/N_0$  المطلوبة (وتسمى  $(E_b/N_0)_{th}$ ) عن معدل المعلومات قبل التمديد  $b_1$ :

$$(6) \quad C'/(N_0 + I_0) = (E_b/N_0)_{th} * r_1$$

المرحلة 6: استناداً إلى المعادلتين (5bis) و (6) وعلى العلاقة  $C/N_0/b_2 = C/N * b_2/r_1 = G_p$  تنتج المعادلة التالية:

$$(7) \quad N_{CDMA} = \{G_p / (E_b/N_0)_{th}\} * \{(C/N) / (C/N + 1)\}$$

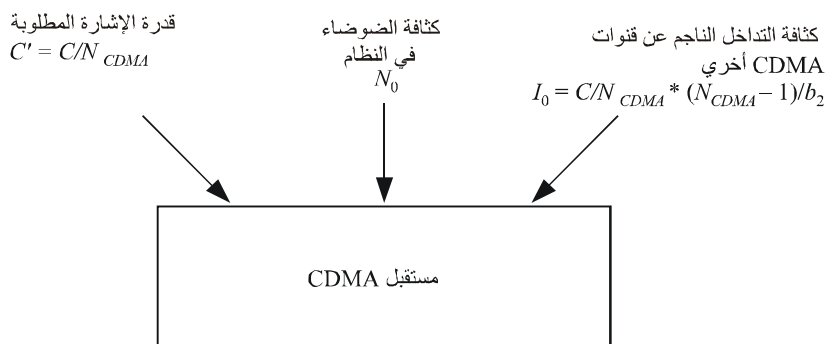
المرحلة 7: في المعادلة (7)، يؤخذ في الحسبان التداخل الناجم عن القنوات CDMA الأخرى في نفس الحزمة النقطية فقط. لكن في الحقيقة ينبغي إدخال التداخل الناجم عن القنوات CDMA في الحزم النقطية المجاورة أيضاً في الحساب. وإضافة إلى ذلك، يعتبر أثر تنشيط المعطيات (الصوتية)،  $\alpha$ ، بنفس الطريقة التي اتبعت في حالة النفاذ FDMA. ومع مراعاة هذه العناصر، يعبر عن استطاعة القناة في الحالة CDMA كالتالي:

$$(8) \quad N_{CDMA} = \{G_p / (E_b/N_0)_{th}\} * \{(C/N) / (C*(1 + \beta)/N + 1)\} * \alpha$$

حيث  $\beta$  تمثل نسبة مساهمة التداخل الناجم عن الحزم النقطية المجاورة إلى التداخل الناجم عن نفس الحزم النقطية.

الشكل 18

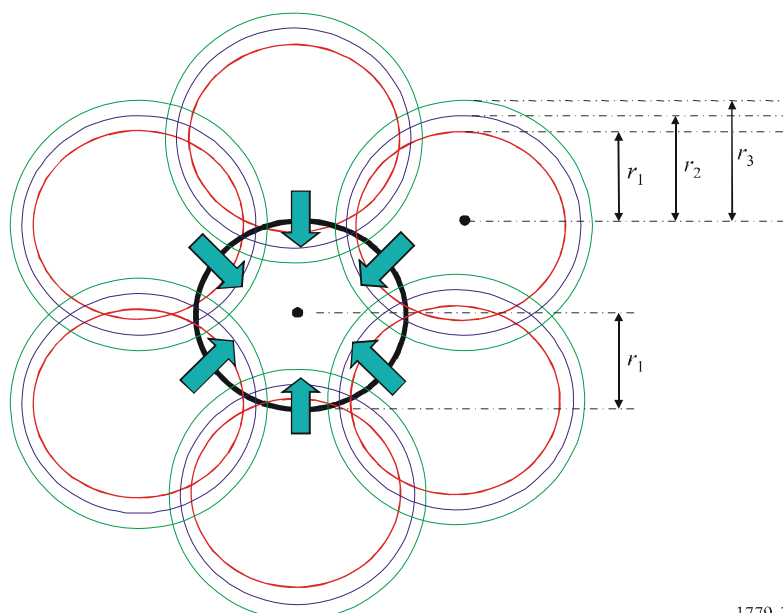
### الإشارة والضوباء/التدخل في مدخل المستقبل CDMA



ومن أجل تقدير القيمة  $\beta$  في المعادلة (8)، يستخدم نموذج الحزام النقطية الوارد في الشكل 19. وتوجد القناة المطلوبة في الحزمة الواقعه في وسط الشكل. وتحسب القدرة المتسربة من الحزم المجاورة السست في الكفاف البالغ 3 dB من الحزمة المركزية (الدائرة المرسومة بالأسود العريض)، بافتراض أن الحركة موزعة توزيعاً منتظمماً على المواقع في كل حزمة نقطية. ويتحدد نصف قطر الكفاف البالغ 3 dB لكل حزمة نقطية  $r_1$ . وفيما يتعلق بالحزم المجاورة، يفترض كفاف يبلغ 6 dB مع نصف قطر  $r_2 = r_1 * 1,2$  لأغراض حساب التسرب القدرة. ويتبع عن ذلك القيمة  $\beta$  البالغة 0,75.

الشكل 19

نموذج حزم نقطية لحساب التسرب من الحزم المجاورة



1779-19

#### 4 تقويم استطاعة القنوات باستعمال معلمات النظام المثال

لتقويم استطاعة النظام FSS المزود بعدد من الحزم النقطية الضيق يتم الاستناد إلى معلمات الإرسال عند استعمال النفاذين CDMA و FDMA، كما يبين الشكل 21. ولتقدير حساسية القناة لقدرة السائل وموارد عرض النطاق في الحالة FDMA، تستخدم عدة طائق تشكيل/FEC. ولا فائدة ترجى من استخدام تشكيل أعلى مرتبة (مثل 8-PSK أو 16-QAM) للتشكيل الأولي في الحالة CDMA، لأن ذلك لا يفضي إلى كسب أكبر للتمديد. وبناء على ما تقدم، تحفظ هذه الدراسة مجموعات التشكيل والتصحيح التالية:

الحالة 1: QPSK مع شفرة دوران 1/2.

الحالة 2: 8-PSK مع تشكيل TCM 2/3 وشفرة ريد-سولومون (201، 219).

الحالة 3: 16-QAM مع تشكيل TCM 3/4 وشفرة ريد-سولومون (201، 219).

الحالة 4: QPSK مع شفرة دوران 1/2.

وترد القيم المطلوبة للنسبة  $(N_0 + I_0)/E_b$  في طائق التشكيل/FEC لإجراء هذا التقييم في الجدول 21 وتعادل معدل خطأ البتات (BER) قدره  $1 \times 10^{-8}$ . ويبيّن معدل التصحيح FEC المعدل المركب للشفرتين الداخلية والخارجية.

## الجدول 21

### معلومات الإرسال لتقدير استطاعة القنوات

الحالة 4	الحالة 3	الحالة 2	الحالة 1	المعلمات
CDMA	FDMA	FDMA	FDMA	<b>FDMA/CDMA</b>
تشكيل أولي				
معدل المعلومات، $r_1$ (kbit/s)				
64	64	64	64	
QPSK	16-QAM	8-PSK	QPSK	تشكيل
0,50	0,69	0,61	0,50	معدل التصحيح FEC
64,0	23,3	34,9	64,0	عرض نطاق الضوضاء المكافئ، $b_1$ (kHz)
89,6	32,5	48,8	89,6	عرض النطاق المشغول، $b'_1$ (kHz)
0,71	1,97	1,31	0,71	فعالية الطيف (bit/s/Hz)
3,2	9,4	6,9	3,2	النسبة $E_b/(N_0+I_0)$ (dB) المطلوبة
تشكيل ثانوي				
BPSK	N/A	N/A	N/A	تشكيل
25,6	N/A	N/A	N/A	عرض نطاق الضوضاء المكافئ، $b_2$ (MHz)
36	N/A	N/A	N/A	عرض النطاق المشغول $b'_2$ (MHz)
N/A: لا ينطبق				

تم حساب استطاعة القنوات في حالات النفاذ FDMA المبينة في الجدول 21 (الحالات من 1 إلى 3) على النحو الوارد في الجدول 22. واستناداً إلى الحالات الأساسية استناداً إلى الجدول 21. أما تراجع قدرة المقرر فبلغ 3 dB في التشكيلين QPSK و 8-PSK و 6 dB في التشكيل 16-QAM.

## الجدول 22

### حساب استطاعة القنوات في حالات النفاذ FDMA

الحالة 3	الحالة 2	الحالة 1	المعلمات
61,02	61,02	61,02	القدرة e.i.r.p. في ساتل متتابع (dBW)
6,0	3,0	3,0	تراجع قدرة المقرر (dB)
205,5	205,5	205,5	خسارة الانتشار (dB)
3,0	3,0	3,0	هامش الحماية من المطر (dB)
11,19	11,19	11,19	النسبة $G/T$ في مطراف المستعمل (dB/K)
86,31	89,31	89,31	النسبة $C/N_0$ عند الاستقبال (dBHz)
9,4	6,9	3,2	النسبة $E_b/(N_0+I_0)$ المطلوبة (dB)
2,5	2,5	2,5	فائدة تنشيط المعطيات
122,68	435,25	1 020,3	استطاعة القنوات المحددة بالقدرة (Mbit/s)
36,0	36,0	36,0	عرض نطاق المكرر (MHz)
1,97	1,31	0,71	فعالية الطيف (bit/s/Hz)
7	7	7	عامل إعادة استعمال التردد
14	14	14	عدد الحزم النقطية
141,84	94,32	51,12	استطاعة القنوات المحددة بعرض النطاق (Mbit/s)
122,68	94,32	51,12	استطاعة القنوات الناجحة (Mbit/s)

وفي الجدول 22، يجري حساب استطاعة القنوات بدلالة القدرة واستطاعة القنوات بدلالة عرض القناة استناداً إلى المعادلين (3) و(4)، على التوالي.

وتحسب استطاعة القنوات في حالة النفاذ CDMA في الجدول 21 (الحالة 4) على النحو المبين في الجدول 23. وتنتج المعلمات الأساسية استناداً إلى الجدول 21. أما في الجدول 23، فتحسب استطاعة القنوات باستعمال المعادلة (8). ويجدر بالذكر أن هذه الدراسة تفترض أفضل توزيع لحركة منتظمة على الحزم نقطية.

### الجدول 23

#### حساب استطاعة القنوات في الحالة CDMA

الحالة 4	المعلمات
64	معدل المعلومات، $r_1$ (kbit/s)
25,71	عرض نطاق الضوضاء في التشكيل الثانوي، $b_2$ (MHz)
401,79	كسب التمديد، $G_p$
61,02	القدرة e.i.r.p. في السائل المتشبع (dBW)
3,0	تراجع القدرة في المكرر (dB)
205,5	خسارة الانتشار (dB)
3,0	هامش المطر (dB)
11,9	النسبة $G/T$ في مطراف المستعمل (dB/K)
14	عدد الحزم نقطية
89,31	النسبة $C/N_0$ عند الاستقبال (كامل النظام) (dBHz)
77,84	النسبة $C/N_0$ عند الاستقبال (لكل حزمة نقطية) (dBHz)
3,74	النسبة $C/N$ الناجمة نسبة إلى عرض النطاق $b_2$ (لكل حزمة نقطية) (dB)
3,2	النسبة $E_b/(N_0+I_0)$ المطلوبة (dB)
0,75	نسبة التداخل الناجم عن الحزم نقطية المجاورة إلى التداخل الناجم عن نفس الحزمة، $\beta$
5,2	$C(1+\beta)/(N+1)$
2,5	فائدة تشغيل المعطيات، $\alpha$
14,16	استطاعة القنوات (لكل حزمة نقطية) (Mbit/s)
198,3	استطاعة القنوات (لكل نظام) (Mbit/s)

### ملخص الدراسة 5

استناداً إلى الحسابات الواردة في الجداولين 22 و 23 يمكن استنتاج أن استطاعة القنوات في الحالة CDMA (الحالة 4) هي أكبر استطاعة في النظام FSS الذي يضم هذه المجموعة من المعلمات المقترنة، وذلك للأسباب التالية:

- تعلم غالبية الأنظمة FSS في حالات تكون فيها القدرة محدودة. ولا يوفر استعمال النفاذ CDMA في مثل هذه الحالات استطاعة نظام أكبر من الاستطاعة التي يوفرها استعمال النفاذ FDMA. لكن نظراً لإنشاء أنظمة ساتلية مزودة بعدد كبير من الحزم نقطية الضيق، فإن الحالات التي يكون فيها عرض النطاق محدوداً بدأت بالظهور.

-

واستعمال الترددات التي تستخدم في الحزم المجاورة ممنوع في نظام تقطيع التردد المستخدم في حالة النفاذ FDMA (الشكلان 13 و14) بغض النظر عن موقع المحطة الأرضية داخل حزمة نقطية، ولو أنه من غير المرجح أن تكون القناة المستعملة تعانى من التداخل في نفس الوقت من قنوات الحزم المجاورة المتعددة. والتشغيل مع استعمال تردد على هذا النحو ضروري خصوصاً في الحالة التي يتقاسم فيها عدد من المحطات الأرضية القنوات على أساس الطلب (كما هو الحال في النظام FSS العامل مع عدد كبير من المطارات الصغيرة VSAT وUSAT). ويتميز النفاذ CDMA بالمرونة في تحديد القنوات نظراً لعدم وجود تقطيع تردد في الحزم النقطية خلافاً للحالات FDMA. ونتيجة لذلك يمكن استعمال عرض النطاق استعملاً فعالاً في حال النفاذ CDMA.

ومن جهة أخرى، ينبغي على مصمم النظام إيلاء الانتباه الوافي لتوزيع الحركة في النظام FSS نظراً لأن هذه الدراسة لا تتناول إلا توزيع الحركة في تعطية الحزم النقطية.

ويجد بالذكر أن نتيجة هذا الحساب قابلة للتطبيق على عرض نطاق أوسع ولو أن عرض نطاق المكرر البالغ 36 MHz هو المثال المستخدم في هذه الدراسة.

ثمة فائدة أخرى لتقنية النفاذ CDMA هي تشغيل النظام FSS مع عدة معدلات معلومات مختلفة في الوصلة الصاعدة. وفي حال تشكيل مثل هذا النظام في النفاذ FDMA، من الضروري اتباع إجراء معقد للتحكم في تحديد الترددات يستعمل عدداً من الموجات الحاملة مختلفة الطول ويطلب تقييم نظام CDMA من هذا القبيل مزيداً من الدراسة.

### الملاحق 3

#### نظام ساتلي يستعمل إشارات تمديد للنطاق العريض في الوصلات الصاعدة بهدف خفض الإرسالات خارج محور التسديد

##### نظرة عامة 1

إن قيم كثافة القدرة e.i.r.p. خارج محور التسديد التي تنص عليها التوصية ITU-R S.524 والمتعلقة بنطاق الخدمة FSS GHz 30-27,5 صارمة جداً مقارنة بتلك المتعلقة بتطبيقات الخدمة FSS GHz 13,25-12,75 GHz 14,5-13,75/GHz 13,25-12,75 GHz 6. ومن أجل الوفاء بالقيم الموصى بها، خاصة عندما تكون النسبة G/T في الساتل منخفضة نسبياً، يستحسن استخدام تمديد الإشارات كتشكيل ثانوي.

##### مثال معلمات النظام 2

تظهر معلمات النظام كمثال في الجدول 24. ومعدلات المعلومات هي 1 و10 و100 Mbit/s، وهي تستعمل التشكيل BPSK والتشفير التلايفي/فأك تشفير فيتري مع معدل FEC قدره 1/2 للحصول على  $1 \times 10^{-8}$  من نسبة أخطاء في البتات (BER). وتبلغ النسبة G/T في الساتل 10 dB/K. ويبلغ قطر الهوائي 45 أو 75 cm ويتبع مخطط الهوائي الوارد في الملحق III بالتدليل 8 للوائح الراديو مخططاً مرجعاً.

## الجدول 24

## معلومات النظام

القيمة	المعلمة
29,25	تردد الإرسال (GHz)
1/10/100	معدل المعلومات (Mbit/s)
BPSK	التشكيل
تشفير تلافيجي	FEC
1/2	معدل FEC
$8-10$	المعدل BER المنشود
10	النسبة $G/T$ في الساتل (dB/K)
$(D/\lambda = 73,1) \text{ cm } 75, (D/\lambda = 43,9) \text{ cm } 45$	قطر الموائي (cm)
التذيل 8 من لوائح الراديو، الملحق III $(D/\lambda < 100)$	مخطط الموائي المرجعي

ويتم حساب عرض نطاق الضوضاء المكافئ والنسبة  $C/N$  المطلوبة على النحو المذكور في الجدول 25.

## الجدول 25

عرض نطاق الضوضاء المكافئ والنسبة  $C/N$  المطلوبة

النسبة $C/N$ المطلوبة (dB)	النسبة $E_b/N_0$ المطلوبة (dB)	عرض نطاق الضوضاء (MHz)	معدل المعلومات (Mbit/s)
2,9	5,9	2,0	1
2,9	5,9	20,0	10
2,9	5,9	200,0	100

وتحسب قيمة النسبة  $C/N$  باستعمال المعادلة (6) مع معلومات الوصلة كما يرد في الجدول 26.

$$(9) \quad C/N = P_t - L_{feed} - L_p + G_t - L_f - L_a + G/T + 228.6 - B - \alpha$$

ويلاحظ أن نفس مقدار الضوضاء الموجود في الوصلة الصاعدة موزع على مصادر الضوضاء الأخرى ومنها ضوضاء الوصلة المابطة في المعادلة (9). وبعبارة أخرى يفترض أن انحطاط النسبة  $C/N$  الذي تسببه مصادر الضوضاء هذه قدره 3 dB (انظر القيمة  $\alpha$  في الجدول 26).

الجدول 26  
معلومات الوصلة

الملاحظة	القيمة	المعلمة
	0,5	الخسارة في خط التغذية، $L_{feed}$ (dB)
	0,2	خطأ تسديد الموجي، $L_p$ (dB)
فعالية بنسبة 60% GHz 29,25	(cm 45) 40,6 (cm 75) 45,0	كسب هوائي لإرسال، $G_t$ (dBi)
	213,3	خسارة الانتشار، $L_f$ (dB)
	0,4	الامتصاص الجوي، $L_a$ (dB)
المرجع الجدول 24	10	النسبة $G/T$ في الساتل (dB/K)
المرجع الجدول 25	-	عرض نطاق ضوضاء مكافئ، $B$ (MHz)
تضم الضوضاء في الوصلة المابطة	3	انحطاط النسبة $C/N$ الناتج عن مصادر ضوضاء أخرى، $\alpha$ (dB)

3 النتائج

استناداً إلى المعادلة (9) والجدولين 25 و 26 يمكن حساب قدرة الخرج،  $P_t$ ، المطلوبة في المكثف HPA للمحطة الأرضية كما يرد في الجدول 27.

الجدول 27  
القدرة (W) الناتجة المطلوبة عند المكثف HPA في الخطة الأرضية،  $P_t$

قطر الموجي		معدل المعلومات (Mbit/s)
cm 75	cm 45	
0,9	2,6	1
9,4	25,8	10
93,5	257,6	100

إن قيمة كثافة القدرة e.i.r.p. خارج المحور والناتجة عن استعمال قيم الجدول 27 ومخطط الموجي المرجعي الوارد في الملحق III بالتدليل 8 من لوائح الراديو تتجاوز القيم التي ينص عليها البند 4 من الفقرة توصي في التوصية ITU-R S.524. فعلى سبيل المثال، يتم تجاوز القيمة الموصى بها عند زاوية تختلف قدرها 5° في حالة هوائي قطره cm 45 بحوالي 3,3 dB. وبالإمكان خفض كثافة القدرة e.i.r.p. خارج محور التسديد باستخدام تمديد الإشارات كتشكيل ثانوي.

وتعد كثافة القدرة e.i.r.p. خارج المحور في كل حالة مع/دون استخدام تقنيات تمديد الإشارة في الجدول 28 والشكليين 20 و 21. ويستعمل عامل التمديد 4 في تطبيق تقنية التمديد.

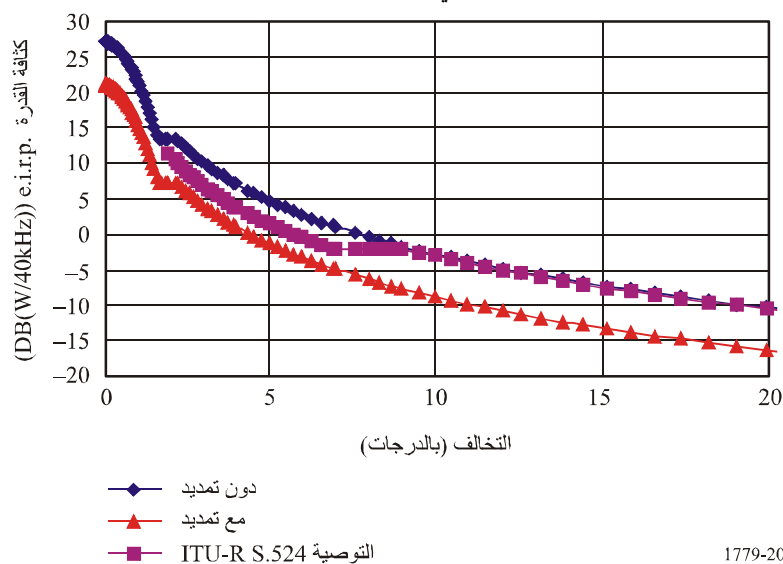
## الجدول 28

**كثافة قدرة e.i.r.p. خارج محور التسديد (dB(W/40 kHz)) مع/دون إشارات تمديد**

cm 75 هوائي قطره		cm 45 هوائي قطره		القيم في التوصية ITU-R S.524	زاوية الانحراف عن المحور الرئيسي (بالدرجات)
دون تمديد	دون تمديد	مع تمديد	مع تمديد		
5,1	11,1	7,3	13,3	11,5	2,0
0,7	6,7	4,2	10,3	7,1	3,0
2,4-	3,6	1,2	7,2	3,9	4,0
4,8-	1,2	1,2-	4,8	1,5	5,0
6,8-	0,8-	3,2-	2,8	0,5-	6,0
8,4-	2,4-	4,9-	1,1	2,0-	7,0
9,9-	3,9-	6,3-	0,3-	2,0-	8,0
11,2-	5,1-	7,6-	1,6-	2,0-	9,0
12,3-	6,3-	8,7-	2,7-	3,0-	10,0

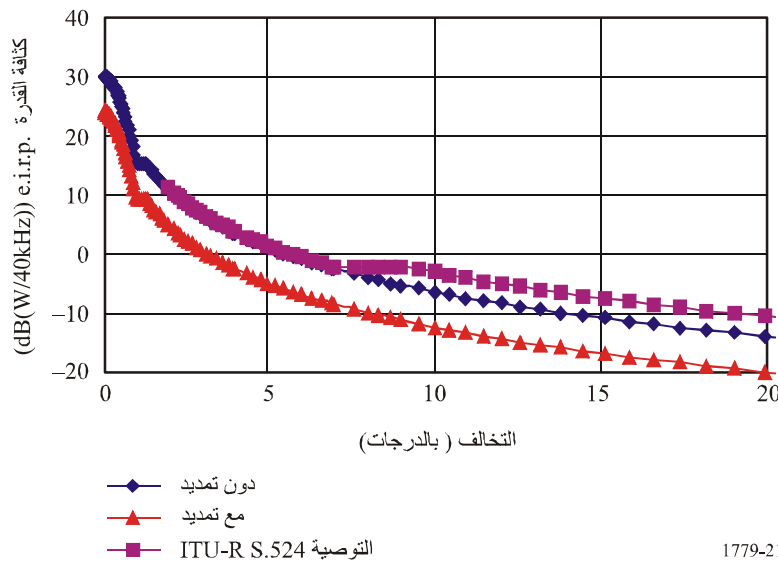
الشكل 20

**كثافة القدرة e.i.r.p. خارج محور التسديد مع/دون إشارات تمديد  
(هوائي قطره cm 45)**



الشكل 21

كثافة القدرة e.i.r.p خارج محور التسديد مع/دون إشارات تمديد  
(هوائي قطره 75 cm)



1779-21

## الملخص

4

من المفيد استخدام إشارات التمديد للنطاق العريض كتشكيل ثانوي في الوصلة الصاعدة للنطاق 30/20 GHz من أجل خفض كثافة القدرة e.i.r.p خارج المحور وذلك للوفاء بالقيم التي تنص عليها توصيات قطاع الاتصالات الراديوية ذات الصلة (مثل التوصية ITU-R S.524). ويفرض هذا الخفض لكتافة القدرة e.i.r.p خارج المحور استعمال عرض نطاق أكبر. ويلاحظ أن المثال الوارد في هذه التوصية لا يفترض موجات حاملة متعددة للإرسال في الحطة الأرضية في نفس عرض النطاق، أي النفاذ CDMA، لكن يتبع مراعاة هذه الآثار إذا ما استخدم مصمم النظام النفاذ CDMA في هذا النوع من التطبيقات.